



تأثیر پدیده انسو بر نوسانات تبخیر و تعرق مرجع در چند اقلیم نمونه سرد کشور

علی اکبر سبزی پرور^{*} - سارا تیان^۲

تاریخ دریافت: ۱۳۹۱/۵/۱۱

تاریخ پذیرش: ۱۳۹۱/۹/۲۶

چکیده

در این تحقیق به بررسی تأثیر پدیده انسو بر تغییرات تبخیر و تعرق مرجع (ET_0) در مقیاس‌های ماهیانه، فصلی و سالانه با استفاده از شاخص نوسانات جنوبی (SOI) برداخته می‌شود. بدین منظور ۱۳ شهر واقع در اقلیم‌های سرد کشور با طول دوره آماری ۵۰ سال (۱۹۵۷-۲۰۰۶) جهت این مطالعه انتخاب شد. در ابتدا، مقادیر متوسط ماهیانه، فصلی، و سالیانه تبخیر و تعرق مرجع با استفاده از روش استاندارد توصیه شده سازمان فائق برای ایستگاه‌های تحت مطالعه محاسبه شد. سپس مقادیر SOI در فازهای النینو، لاپیانا و نرمال از یکدیگر تفکیک و میانگین اختلاف مقادیر ET_0 در هر یک از فازها با آزمون من-ویتنی محاسبه شد. در سطوح اطمینان قابل قبول همبستگی معنی داری بین زوج‌های آماری ET_0 و SOI مشاهده شد. نتایج حاصل از همبستگی‌ها در مقیاس ماهیانه، در ۷۲٪ موارد همبستگی مستقیم معنی دار بین تبخیر و تعرق مرجع با شاخص نوسانات جنوبی، و همبستگی معکوس در ۲۸٪ موارد را تایید نمود. به طور کلی، در مواردی که ضرایب همبستگی مثبت (مستقیم) بود، در مقیاس ماهیانه، مقدار ET_0 به طور متوسط در فاز النینو ۱۰/۸٪ کمتر از فاز نرمال و ۱۴/۸٪ کمتر از فاز لاپیانا بود. بر عکس، مقدار ET_0 در فاز لاپیانا بیشتر از ۱۳/۱٪ در فاز نرمال بdest آمد. متوسط تاخیر زمانی برای اوج تأثیرگذاری بر تبخیر و تعرق مرجع در مناطق مورد مطالعه برای ضرایب همبستگی مثبت، ۳/۲ ماه به دست آمد. طبق نتایج به دست آمده، بیشترین تأثیرپذیری تبخیر و تعرق مرجع از پدیده انسو به ترتیب در ماه‌های نوامبر، اکتبر و دسامبر به وقوع پیوست. همچنین ارزیابی‌های مقیاس فصلی نشان داد که تأثیرپذیری تبخیر و تعرق مرجع از پدیده انسو در فصل پاییز ۶۸٪ از تأثیرپذیری کل فصول را در شهرهای مورد مطالعه شامل می‌شود. در مقایسه با نتایج بدست آمده از اقلیم‌های گرم، شهرهای اقلیمی سرد این مطالعه حساسیت بیشتری به سیگنال‌های انسو نشان دادند. نتایج تحقیق حاضر می‌تواند در مدیریت بهتر منابع آبی به ویژه در بخش کشاورزی قبل از وقوع فازهای مختلف انسو مفید باشد.

واژه‌های کلیدی: پدیده انسو، شاخص نوسان جنوبی، تبخیر و تعرق مرجع، تغییرپذیری، اقلیم‌های سرد

مقدمه

پدیده نوسانات جنوبی را از تغییرات فشار این مراکز در اقیانوس آرام استواری شناسایی و معروفی کرد. شاخص مثبت بیانگر فشار زیاد هوا در جزایر تاهیتی، و فشار کم در حوالی اندونزی و داروین استرالیا می‌باشد، که تحت عنوان لاپیانا (La Nina) شناخته می‌شود. شاخص منفی (فاز النینو) نشانگر فشار نسبتاً بالای هوا در حوالی اندونزی-داروین و فشار تقریباً کم در حوالی تاهیتی می‌باشد (۳). در زمان و قوع النینو دمای سطح آب اقیانوس گرمتر از میانگین آن در طول سال خواهد بود (۸).

کشاورزی یکی از بزرگترین بخش‌های وابسته به شرایط آب و هوایی است. سطح وسیعی از محصولات کشاورزی در طول دوره رشد خود از آب استفاده می‌کنند (۲۰). کاملاً مشخص است، هنگامی که آب منبع محدود کننده نباشد گیاهان می‌توانند به بالاترین سطح تولید خود برسند. علت این است که بین مقدار آب تعرق یافته توسط گیاه و ماده خشک جمع شده در آن ارتباط قوی وجود دارد (۱۳ و ۱۷). لذا رفع کامل نیاز آبی گیاه از طریق تعیین دقیق و صحیح تبخیر و تعرق،

پدیده انسو یکی از عوامل ایجاد تغییر اقلیم می‌باشد. این پدیده یک زوج اقیانوسی-اتمسفری است که هر چهار تا هفت سال یکبار اتفاق می‌افتد (۶). واژه انسو از ترکیب دو واژه نوسان جنوبی (Southern Oscillation) و النینو (El Nino) گرفته شده است. النینو مؤلفه اقیانوسی پدیده می‌باشد که با ایجاد جریان‌های گرم در ایام سال نو مسیحی در سواحل اکوادور و پرو اتفاق می‌افتد (۲۵). نوسانات جنوبی نیز مؤلفه اتمسفری پدیده انسو می‌باشد، که معمولاً اختلاف فشار سطحی بین دو جزیره تاهیتی در شرق، و داروین استرالیا در غرب اقیانوس آرام به عنوان مبنای اندازه گیری شاخص نوسانات جنوبی می‌باشد (۶). اولین بار گیلبرت واکر در سال ۱۹۲۲

۱- استاد و دانشجوی سابق کارشناسی ارشد گروه آبیاری و زهکشی، دانشکده کشاورزی، دانشگاه بولی سینا، همدان
(Email: swsabzi@basu.ac.ir)
۲- نویسنده مسئول:

است و تأثیر پدیده انسو بر ناهنجاری‌های دمایی و بارش مورد بررسی قرار گرفته است. طبق تحقیقات مدرس‌پور (۹) که در ۱۵ ایستگاه هواشناسی و برای دوره آماری ۳۰ ساله انجام شد، پدیده انسو بر میزان دمای مناطق مختلف کشور تأثیرگذار گزارش شده است.

همچنین با استفاده از شاخص چند متغیره انسو (MEI: Multivariate Enso Index) نقش پدیده انسو بر بارش‌های فصلی استان آذربایجان شرقی توسط خوشید دوست و قویدل رحیمی (۲) مورد بررسی قرار گرفت. نتایج، حاکی از ارتباط مثبت و معنی‌دار بین شاخص چند متغیره انسو و بارش‌های پاییزی آذربایجان شرقی بود، که باعث افزایش بارش در فاز گرم (الینو) و کاهش نزولات در فاز سرد (لانینا) شده بود (۲). نظام السادات و همکاران (۱۱)، طبق تحقیق خود در دوره آماری ۱۹۵۱ تا ۱۹۹۹ نوسانات بارش جنوب و جنوب غرب ایران و بر هم کنش آن با پدیده انسو را مورد بررسی قراردادند، آنها نشان دادند که افزایش و شدت تواتر پدیده الینو را روند افزایش بارش فصل سرد در این مناطق در ارتباط می‌باشد. نظام السادات و همکاران (۱۰) در دوره ۱۹۶۱ تا ۲۰۰۲ با در نظر گرفتن شاخص SOI در فصل (۱۰) در دوره آمریکا از نقاط کشور در سطح معنی داری ۹۵٪ پیش‌بینی می‌گردد. این در شرایطی است که با وجود لانینای تابستانه $SOI > 5$ در تعداد زیادی از ایستگاه‌های مورد مطالعه، شرایط خشک‌سالی پیش‌بینی می‌گردد. تأثیر پدیده فرا اقلیمی انسو بر تغییرات تبخیر-تعرق مرجع (ET₀) در چند نمونه اقلیمی گرم توسط سبزی پور و همکاران (۲۴) در دوره اقلیمی ۵۰ ساله مورد ارزیابی قرار گرفت. نتایج نامبردگان در مقیاس ماهیانه حاکی از همبستگی مثبت بین مقدار شاخص SOI و مقدار تبخیر-تعرق مرجع در ۸۸ درصد از موارد مطالعه بود. در این تحقیق حداقل اختلاف در میانگین های ET₀ در فاز الینو ۱۰/۱ درصد کمتر از فاز لانینو بودست آمد (۲۴).

در دهه‌های اخیر مطالعات زیادی روی تأثیر انسو بر تغییرات بارش، دما و رطوبت در نیمکره شمالی به انجام رسیده است و اندرکش این پدیده بزرگ مقیاس نیمکره جنوبی را بر توزیع پارامترهای فوق در نیمکره شمالی به اثبات رسانده اند (۶، ۷، ۸، ۹، ۱۰، ۱۱ و ۲۱). زمانی که توزیع بارش، دما و رطوبت در فازهای مختلف انسو تحت تأثیر معنی دار این پدیده بزرگ مقیاس قرار می‌گیرند، می‌توان انتظار داشت که انسو روی تغییر پذیری فرآیندهای کوچک مقیاسی نظیر تبخیر و تعرق اثرگذار و آنرا به صورت ایستگاهی و منطقه‌ای دچار ناهنجاری نماید.

تبخیر و تعرق به عنوان مهم‌ترین گرینه در تعیین نیاز آبی، تحت تأثیر پارامترهای مختلف هواشناسی مانند دما، باد، رطوبت نسبی، تابش و دیگر پارامترها قرار می‌گیرد، لذا با توجه به اهمیت تبخیر

و بالا بردن راندمان کاربرد آب از اهمیت بسزایی برخوردار است. به گفته رزگرانت و همکاران (۲۳)، جامعه مدرن در آینده برای تخصیص مؤثر منابع آب با دو پیشامد تغییر اقلیم و کشمکش‌های در حال رشد بر سر آب در میان بخش‌های اقتصادی روبرو خواهد بود. سازوکار پیوند از دور یکی از موضوعات با اهمیت در توجیه رفتار اقلیم می‌باشد. گاهی اجزای سیستم اقلیمی اثرات خود را بر مکانی دورتر از محل وقوع آن تحمیل می‌کنند. این‌گونه تأثیرگذاری به پیوند از دور (Teleconnection) موسوم می‌باشد. از جالب توجه‌ترین نمونه‌های این سازوکار می‌توان به نوسانات جنوبی اشاره کرد (۷).

پوودا و همکاران (۲۱)، طی تحقیقی که در منطقه کلمبیا با داده‌های آماری سال‌های ۱۹۹۸-۱۹۵۸ انجام دادند، تأثیرات مختلف پدیده انسو بر متغیرهای هیدرولوژیکی را بررسی کردند. شاخص گیاهی Normalized Difference Vegetation Index (NDVI) در زمان وقوع الینو بخصوص در طی ماههای سپتامبر تا نوامبر و ژوئن تا اوت همان سال و دسامبر تا فوریه سال بعد کاهش نشان دادند. کاهش فعالیت‌های گیاهی طی پدیده الینو، کاملاً با کاهش بارش، کاهش جریان آبراهه‌ها، کاهش رطوبت خاک، و طبق فرضیه محققان همین تحقیق با کاهش تبخیر و تعرق گیاهان مرتبط می‌باشد.

مزا (۱۷)، به بررسی تأثیر پدیده انسو بر تبخیر و تعرق مرجع در حوضه رودخانه می‌پیو، واقع در شیلی پرداخت. وی ابتدا اقدام به جداسازی فازهای مختلف انسو بر اساس معیار ترنبرس نمود. طبق نتایج این تحقیق، در فصل تابستان تفاوت چندانی در میزان تبخیر و تعرق فازهای مختلف انسو دیده نشد، در حالی که در فصل زمستان میزان تبخیر و تعرق در سال‌های لانینا ۳۰ درصد بیشتر از سال‌های الینو گزارش شد. در سایر فصول نیز، مقادیر تبخیر و تعرق در سال‌های لانینا بیشتر از سال‌های الینو گزارش شد. در مقیاس ماهیانه، در تمامی موارد تبخیر و تعرق در فاز الینو کمتر از فاز نرمال بودست آمد.

رونبلک و انهوف (۲۲)، طی مطالعه خود از سال ۱۹۹۶ تا ۲۰۰۰ در جنگلهای آمازون در منطقه ونزوئلا تأثیر چرخه انسو را بر توازن انرژی مورد بررسی قراردادند. طبق نتایج آنان، الینوی سال ۹۸-۱۹۹۷ شاهد کاهش بارش، کاهش تعرق گیاهی، افزایش مقدار کمبود فشار بخار اشباع و کاهش تبخیر و تعرق واقعی گیاه به ۵۰ درصد تبخیر و تعرق پتانسیل بودند.

محققان در نیوزلند با مطالعه پهنانی حلقه‌های درختان کا اُری با شاخص‌های مختلف پدیده انسو از جمله دمای سطح آب منطقه نینو ۳، ۴ و شاخص SOI به حساسیت درختان کا اُری به این پدیده پی بردن. حلقه درختان در سال‌های متناظر با الینو پهن تر و در سال‌های همراه با لانینا باریک‌تر بودند (۱۴). همانند دیگر مناطق جهان مطالعاتی نیز در ایران انجام گرفته

نیمه خشک کشور انتخاب شد (جدول ۱). نوع اقلیم هر منطقه با استفاده از نتایج پروژه پهنه‌بندی اقلیم کشاورزی با روش یونسکو که توسط غفاری و همکاران (۵)، در موسسه تحقیقات کشاورزی دیم کشور انجام شده بود، مشخص گردید. این پهنه‌بندی در حقیقت نوعی پهنه‌بندی اقلیم کشاورزی می‌باشد که بر مبنای سه معیار اصلی رژیم رطوبتی، تیپ زمستان و تیپ تابستان استوار است. انتخاب ایستگاهها و دوره آماری به گونه‌ای بود که کمترین خلاء آماری را شامل شد و حتی الامکان پنهان مناطق سرد و خشک و سرد نیمه خشک کشور را پوشش داد.

تعرق، و تأثیرپذیری الگوهای مختلف بارش و دما از پدیده انسو که توسط محققین مختلف به اثبات رسیده است و فقدان تحقیقات مشابه در مورد تبخیر و تعرق در کشور، تحقیق حاضر بر این تلاش است، تا اثر این پدیده را در فازهای مختلف اینیو و لانینا بر مقدار تبخیر تعرق مرجع در اقلیم‌های سرد خشک و سرد نیمه خشک کشور بررسی نماید.

مواد و روش‌ها

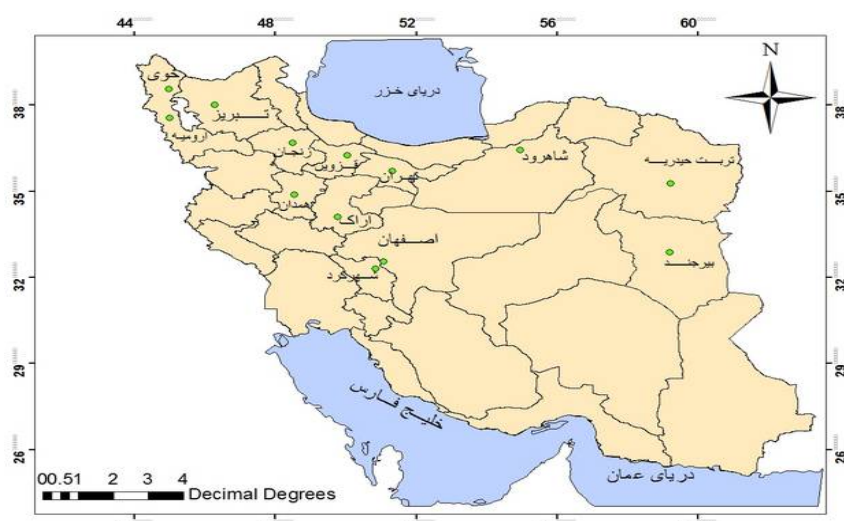
در این تحقیق ۱۳ شهر از شهرهای مناطق سرد خشک و سرد

جدول ۱- مشخصات جغرافیایی و نوع اقلیم شهرهای مورد مطالعه

نام ایستگاه	نوع اقلیم*	ارتفاع(m) (درجه شمالی)	عرض جغرافیایی (درجه شرقی)	طول جغرافیایی
اراک	SA-K-W	۱۷۰/۸	۳۴° ۶'	۴۹° - ۴۶'
ارومیه	SA-K-M	۱۳۱۵/۹	۳۷° ۳۲'	۴۵° - ۵'
اصفهان	A-C-W	۱۵۵۰/۴	۳۲° ۳۳'	۵۱° - ۴°
بیرجند	A-C-W	۱۴۹۱	۳۲° ۵'	۵۹° - ۱۲'
تبریز	SA-K-M	۱۳۶۱	۳۸° ۵'	۴۶° - ۱۷'
ترت حیدریه	SA-K-W	۱۴۵۰/۸	۳۵° ۱۶'	۵۹° - ۱۳'
تهران	A-C-W	۱۱۹۰/۸	۳۵° ۴۱'	۵۱° - ۱۹'
زنجان	SA-K-W	۱۶۶۳	۳۶° ۴۱'	۴۸° - ۲۹'
خوی	SA-K-M	۱۱۰۳	۳۸° ۳۳'	۴۴° - ۵۸'
شهرورد	A-C-W	۱۳۴۵/۳	۳۶° ۲۵'	۵۴° - ۵۷'
شهر کرد	SA-K-M	۲۰۴۸/۹	۳۲° ۱۷'	۵۰° - ۵۱'
قزوین	SA-K-W	۱۲۷۹/۲	۳۶° ۱۵'	۵۰° - ۳'
همدان	SA-K-W	۱۶۷۹/۷	۳۵° ۱۲'	۴۸° - ۴۳'

A: اقلیم نیمه خشک با زمستان سرد و تابستان گرم SA-K-W: اقلیم نیمه خشک با زمستان سرد و تابستان گرم

* نوع اقلیم بر اساس طبقه بندی یونسکو SA-K-M: اقلیم نیمه خشک با زمستان سرد و تابستان معتدل



شکل ۱- موقعیت جغرافیایی ایستگاه‌های مورد مطالعه

استفاده از نرم افزار SPSS ضرایب همبستگی بین شاخص نوسانات جنوبی هر یک از ۱۲ ماه سال با تبخیر و تعرق مرجع ماه مربوطه (به صورت همزمان)، و با ماههای بعد (تا ۳ ماه بعد از سال وقوع پدیده انسو، با تاخیر زمانی حداقل ۱۴ ماهه) بررسی شد. میزان همبستگی با استفاده از دو آزمون همبستگی پیرسون (Pearson) و اسپیرمن (Spearman) در سطح معنی‌داری ۹۵ درصد و ۹۶ درصد بررسی شد. ضرایب همبستگی پیرسون (r_p) شاخص میزان رابطه خطی بین X و Y می‌باشد که شرط نرمال بودن توزیع توأم X و Y را دارد، ولی ضرایب همبستگی اسپیرمن (r_s) متناظر ناپارامتری ضرایب همبستگی پیرسون است که نیاز به شرط نرمال بودن را نداشته و علاوه بر رابطه خطی، برای آشکار سازی روابط غیرخطی نیز بکار می‌رود (۱). در مقیاس فصلی نیز ضرایب همبستگی به صورت همزمان و فصول بعد، با تاخیرهای زمانی تا زمستان سال بعد از وقوع انسو محاسبه شد. در مقیاس سالانه، بعد از میانگین گیری ۱۲ ماهه از ET_0 و SOI و ماهیانه، ضرایب همبستگی به روش مشابه استخراج شد. در مواردی که ضرایب همبستگی معنی‌دار بودند، سری‌های ET_0 با توجه به شاخص SOI به ترتیب صعودی مرتب شدند. بعد از مرتب سازی مقادیر SOI به صورت صعودی، ۲۵ درصد آخر (مقادیر کمتر) شاخص نوسانات جنوبی به عنوان فاز النینو، ۲۵ درصد پایینی (مقادیر بیشتر SOI) شاخص نوسانات جنوبی به عنوان فازلانینا و مقادیر بین این دو محدوده به عنوان فاز نرمال در نظر گرفته شد (۱۵ و ۱۸٪). نسبت متوسط مقادیر ET_0 در فازهای النینو و لانینا نسبت به هم و نسبت به متوسط فاز نرمال محاسبه شد. در نهایت با استفاده از آزمون من-ویتنی و در محیط نرم افزار SPSS و با تشکیل ۴۵۹ سری مکانی و زمانی، معنی‌داری اختلاف میانگین‌های ET_0 محاسبه شده در فازهای مختلف مورد آزمون قرار گرفت. لازم به ذکر است در این تحقیق ماههای ژانویه تا مارس به عنوان فصل زمستان، آوریل تا ژوئن به عنوان بهار، ژوئیه تا سپتامبر به عنوان فصل تابستان و اکتبر تا دسامبر به عنوان فصل پاییز در نظر گرفته شده است. ضمناً با توجه به منشاء تقویمی داده‌های SOI که میلادی است، کلیه محاسبات همبستگی در این تحقیق بر اساس ماههای میلادی ارائه شده است.

نتایج و بحث

پس از محاسبه ضرایب همبستگی به ترتیبی که ذکر شد، ماههای تأثیرپذیر و تأثیرگذار در هر شهر همراه با ضرایب همبستگی، تاخیر زمانی، و مقادیر p-value مربوط به آزمون من-ویتنی در جدول ۲ (مقیاس ماهیانه)، جدول ۴ (مقیاس فصلی) و جدول ۵ (مقیاس سالانه) ارائه شد. میانگین آماری (مقیاس ماهیانه) کلیه شهرهای مورد مطالعه نیز در جدول ۳ درج شده است.

به همین منظور، در تحقیق حاضر طول دوره آماری ۵۰ سال (۱۹۵۷-۲۰۰۶) انتخاب شد. موقعیت جغرافیایی و نوع اقلیم شهرهای مورد مطالعه در شکل ۱ و جدول ۱ نمایش داده شده است. درابتدا داده‌های هواشناسی از طریق سایت رسمی سازمان هواشناسی ایران دریافت شد. اطلاعات هواشناسی شامل دمای ماکزیمم، دمای مینیمم، فشار بخار اشباع، رطوبت نسبی ماکزیمم و مینیمم، سرعت باد و فشار هوا بود. سپس خلاء‌های آماری پارامترها تکمیل شد و با استفاده از نرم افزار SPSS صحت و همگنی داده‌ها از طریق آزمون ران (Run-test) مورد آزمون قرار گرفت. در مرحله بعد با وارد کردن داده‌ها در محیط نرم افزار اکسل، عملیات آماده‌سازی داده‌ها جهت استفاده در نرم افزار REF-ET به منظور استخراج تبخیر و تعرق مرجع (ET₀) انجام شد. در این تحقیق نرم افزار REF-ET جهت محاسبه تبخیر و تعرق گیاه مرجع چمن استفاده شد. روش مورد استفاده در این تحقیق روش پنم مانیتیث فائو (۱۲) می‌باشد. روش پنم مانیتیث توسط سازمان فائو (Food and Agriculture Organization, FAO) به عنوان روش استاندارد محاسبه تبخیر و تعرق مرجع با تنواع آب و هوایی مختلف ارائه شده است (رابطه ۱).

این معادله در مورد تبخیر و تعرق یک گیاه مرجع فرضی با ارتفاع ۱۲ سانتیمتر و مقاومت سطحی ثابت ۷۰ ثانیه بر متر و آلبیدو ۰/۲۳ تعريف شده است. از این معادله جهت برآورد تبخیر و تعرق گیاه مرجع در بازه‌های زمانی ساعتی تا ماهیانه استفاده می‌شود. جهت اطلاع از جزئیات معادله فوق به مرجع آلن و همکاران (۱۲) مراجعه شود.

$$ET_0 = \frac{0.408\Delta(R_n - G) + \gamma \frac{900}{\bar{T} + 273} u_2(e_s - e_a)}{\Delta + \gamma(1 + 0.34u_2)} \quad (1)$$

در روابط فوق ET_0 : تبخیر- تعرق گیاه مرجع (d_m/s)؛ R_n : تابش خالص در سطح محصول (M_j/m²d)؛ G: شار حرارتی خاک (M_j/m²d)؛ \bar{T} : متوسط درجه حرارت هوا (c°)؛ e_s : فشار بخار اشباع (kpa)؛ e_a : فشار بخار واقعی (kpa)؛ Δ : شب منحنی فشار بخار در مقابل درجه حرارت (kpa/c)؛ γ : ثابت سایکرومتریک (kpa/c)؛ u_2 : سرعت باد در ارتفاع ۲ متری (m/s) می‌باشد.

داده‌های ماهیانه شاخص نوسان جنوبی (SOI) در دوره زمانی مذکور از سایت سازمان هواشناسی استرالیا استخراج شد (۱۶). با استفاده از آزمون کولموگروف- اسمیرنوف (Kolmogrov-Smirnov) و نرم افزار SPSS از نرمال بودن داده‌های ET_0 و شاخص نوسانات جنوبی در مقیاس فصلی و ماهیانه اطمینان به عمل آمد. برای بررسی در مقیاس‌های فصلی و سالانه از داده‌های SOI متوسط سه ماهه و دوازده ماهه گرفته شد. در مرحله بعد، با توجه به اینکه آغاز پدیده انسو معمولاً از اوایل سال میلادی می‌باشد، با

طبق نتایج مندرج در جدول ۲، در حالت کلی ۷۲ درصد از ماههای تأثیرپذیر دارای ضریب همبستگی مثبت و ۲۸ درصد دارای ضریب همبستگی منفی می‌باشند. در همبستگی‌های مثبت تأثیرپذیر انسو بر ET_0 بصورت مستقیم می‌باشد. یعنی در مقادیر منفی SOI (النینو) مقدار ET_0 کمتر، و در مقادیر مثبت SOI (لانينا) مقدار ET_0 نسبت به فاز نرمال بیشتر می‌باشند. در شرایط همبستگی مثبت حدود ۳۰ درصد اختلاف میانگین‌های بین دو فاز النینو و لانینا با فاز نرمال دارای سطح معنی‌داری قابل قبول می‌باشند که از این میان ۶۱/۵ درصد مربوط به اختلاف فاز النینو با نرمال، و ۳۸/۵ درصد مربوط به اختلاف فاز لانینا با فاز نرمال می‌باشد. لذا به نظر می‌رسد در ماههایی که ضریب همبستگی معنی‌دار و مثبت بین ET_0 و SOI وجود دارد، تعداد ماههایی که در آن ET_0 از فاز النینو تأثیر می‌پذیرد، بسیار بیشتر از ماههایی است که از فاز لانینا تأثیر می‌گیرد (حدود ۱/۶ برابر). این نتیجه که در شهرهای اصفهان و تبریز بیشتر به چشم می‌خورد، می‌تواند باعث کاهش نیاز آبی و بالابردن سطح زیر کشت در اقلام کشت شده گردد (جدول ۲). این نتیجه با نتایج تحقیق ناظم السادات و همکاران (۱۰) که نشان دادند تأثیرات انسو بر خشکسالی پاییزه بعد از یک لانینای تابستانه کمتر از تأثیر این پدیده بر تراسالی پاییزه بعد از یک النینوی تابستانه می‌باشد، سازگاری نشان می‌دهد. همچنین با توجه به جدول ۲ حدود ۷۰ درصد از ماههایی که دارای ضریب همبستگی مثبت بودند، دارای اختلاف معنی‌دار بین میانگین مقادیر ET_0 در دو فاز النینو و لانینا می‌باشند، که حاکی از اثرگذاری قابل ملاحظه پدیده انسو بر مقدار تبخیر و تعرق این ایستگاهها می‌باشد. در مواردی که ضرایب همبستگی منفی می‌باشند، از میان اختلاف میانگین‌های معنی‌دار ET_0 در دو فاز النینو و لانینا با فاز نرمال، ۸۲ درصد مربوط به اختلاف میانگین ET_0 در فاز لانینا و نرمال می‌باشد که نشان می‌دهد در این شرایط (همبستگی منفی)، فاز لانینا تأثیر بیشتری بر تغییرات ET_0 مرجع در اقلیم‌های سرد می‌گذارد.

با توجه به جدول ۲، از نمونه‌های بارز همبستگی منفی، دو شهر بیرون و شهرکرد می‌باشند که در مجموع ۸۰ درصد موارد معنی‌دار اختلاف میانگین ET_0 در دو فاز النینو و لانینا با فاز نرمال، مربوط به اختلاف میانگین معنی‌دار ET_0 بین دو فاز لانینا و نرمال می‌باشد. این نتیجه نیز حاکی از کاهش تبخیر و تعرق به طور استثنائی در فاز لانینا نسبت به فاز نرمال می‌باشد (به دلیل همبستگی معکوس معنی‌دار، در مقادیر بالای SOI تبخیر و تعرق مرجع کمتر می‌شود). در حالت کلی نتایج حاصل از همبستگی‌های ماهیانه حاکی از این است که ماه نوامبر به تن‌هایی ۲۰ درصد از ماههای تأثیرپذیر را به خود اختصاص داده است و بعد از آن ماههای اکتبر و دسامبر با ۱۳/۱ درصد رتبه دوم را بین ماههای تأثیرپذیر دارند.

نتایج نشان داد که به جز شهر خوی سایر شهرها در مقیاس ماهیانه دارای ضرایب همبستگی معنی‌دار با شاخص نوسانات جنوبی می‌باشند (جدول ۲)، در ۸۳ درصد از شهرهایی که در مقیاس ماهیانه دارای همبستگی بودند، در مقیاس فصلی نیز همبستگی معنی‌دار داشتند و فقط در دو شهر همدان و شهر کرد در مقیاس فصلی همبستگی معنی‌دار فصلی وجود نداشت (جدول ۴). با توجه به نتایج جدول ۲، در بین شهرهای مورد مطالعه، از نظر تعداد و مقدار بیشترین ضرایب همبستگی مثبت تبخیر و تعرق مرجع با شاخص نوسانات جنوبی، متعلق به شهر قزوین بود. نتایج عزیزی (۴) و ناظم السادات (۱۰) نیز نشان داد که شهر قزوین در زمرة شهرهایی می‌باشد که بیشترین حساسیت را به پدیده انسو دارند. همچنین با توجه به نتایج جدول ۲، در قزوین به جز ماههای فوریه، مارس و آوریل، در سایر ماهها مقدار ET_0 تحت تأثیر نوسانات جنوبی قرار می‌گیرد. در این شهر تغییرات نوسانات جنوبی در ماه می به تن‌هایی باعث تغییرات در ET_0 ماههای می تا نوامبر به مدت ۷ ماه پیاپی می‌شود. بیشترین تغییرات حادث شده ET_0 شهر قزوین در ماههای اکتبر و نوامبر دیده می‌شود که از نظر مقدار و تداوم حائز اهمیت است. با توجه به ضرایب همبستگی و تبیین، تغییرات شاخص نوسانات جنوبی در ماههای می، ژوئن و سپتامبر به ترتیب مسئول تغییرات ۲۹ و ۲۵٪ و ۰/۲۹٪ و ۰/۳۰٪ ($R^2=0.30$) در صدی تغییرات تبخیر و تعرق مرجع در ماه اکتبر می‌باشد (جدول ۲). در شهر قزوین ۵۸ درصد از همبستگی‌های معنی‌دار مربوط به همبستگی با نوسانات جنوبی ماههای بهار می‌باشد. بیشترین مقدار ضریب همبستگی در مقیاس ماهیانه در بین شهرهای مورد مطالعه، متعلق به شهر قزوین و اثرگذاری انسو در ماه می بر ET_0 ماه اکتبر با تاخیر زمانی پنج ماهه به مقدار ۰/۵۵ می‌باشد (جدول ۲). با توجه به نتایج جدول ۳، متوسط تاخیر زمانی در مقیاس ماهیانه برای تأثیرگذاری پدیده انسو بر تبخیر و تعرق مرجع در شهر قزوین ۲/۸ ماه می‌باشد که به طور متوسط باعث کاهش ۱۱/۲ درصدی تبخیر و تعرق مرجع در فاز النینو نسبت به فاز نرمال می‌شود. افزایش تبخیر و تعرق مرجع در فاز لانینا نسبت به فاز نرمال ۷/۸ درصد می‌باشد. همچنین بیشترین ضریب همبستگی در مقیاس فصلی نیز متعلق به شهر قزوین، و ارتباط نوسانات جنوبی فصل بهار و تبخیر و تعرق مرجع فصل پاییز، به مقدار ۰/۵۷ می‌باشد (جدول ۴).

در شهر قزوین، در مقیاس فصلی ۶۰ درصد از فصول تأثیر گذار مختص فصل بهار، و ۶۰ درصد فصول تأثیرپذیر مربوط به فصل پاییز می‌باشند. البته در این شهر تبخیر و تعرق مرجع فصلی به جز فصل زمستان در سایر فصول با متوسط تأخیر زمانی کمتر از یک فصل تحت تأثیر تغییرات نوسانات جنوبی سه فصل بهار، تابستان و پاییز قرار می‌گیرند (جدول ۴). تجزیه و تحلیل تأثیرپذیری ET_0 از انسو در سایر شهرها نیز به همین صورت است که جهت جلوگیری از افزایش حجم مقاله، صرفاً به ارائه نتایج کلی اکتفا می‌شود.

جدول ۲- جزئیات آماری ماههای تأثیرگذار، خسارت‌آور همبستگی، تأخیر زمانی و درصد تغییرات میانگین‌ها در مواردی که مقادیر ET_0 دارای اختلاف معنی‌دار بوده اند (مقیاس ماهیانه)

ایستگاه	ماه	تأثیرگذار (SOI)	تأثیرپذیر (ETo)	(E-L)%		(L-N)/N%		(E-N)%		تسخیرات		ضریب همبستگی	تاریخ زمانی (ماه)
				تغییرات %ET ₀	P-Value								
اراک	مای	-۲۰/۲	-/۰۰۲**	۳۳/۳	-/۰۰۲**	-	-/۰۳۱	۷	-/۳۶**	دسامبر	دسامبر	دسامبر	۰/۳۶*
	ژوئن	-۱۹/۵	-/۰۵۴+	۱۰/۳	-/۰۵۴+	-	-/۰۴۹	۶	-/۳۵*	دسامبر	نومبر	نومبر	۰/۳۵*
	اوت	-	-/۰۲۲	-	-/۰۲۲	-۹/۸	-/۰۳۳**	۳	-/۳۹*	نومبر	نومبر	نومبر	۰/۳۹*
	سپتامبر	-۲۲/۳	-/۰۲*	۱۸/۲	-/۰۲*	-	-/۰۱۱	۲	-/۴۲**	نومبر	نومبر	نومبر	۰/۴۲**
	فوریه	-۵/۳	-/۰۸+	۸/۰	-/۰۰۲**	-	-/۰۵۶	۶	-/۰۲۹*	نامبر	نامبر	نامبر	۰/۰۲۹*
	مارس	-۷/۵	-/۰۴*	-	-/۰۲۹	-	-/۰۱۹	۵	-/۰۲۸*	نامبر	نامبر	نامبر	۰/۰۲۸*
	آوریل	-۷/۲	-/۰۶+	-	-/۰۱۸	-	-/۰۳۶	۱	-/۰۲۸*	نامبر	نامبر	نامبر	۰/۰۲۸*
	ژوئن	-	-/۰۱۸	۵/۸	-/۰۸+	-	-/۰۹۲	۲	-/۰۳۳*	نامبر	نامبر	نامبر	۰/۰۳۳*
	ژوئن	-	-/۰۲۵	-	-/۰۲۹	-	-/۰۲۶	۳	-/۰۳۷**	نامبر	نامبر	نامبر	۰/۰۳۷**
	اکتبر	-	-/۰۲۸	-	-/۰۴۳	-	-/۰۳۹	۴	-/۰۲۸*	نامبر	نامبر	نامبر	۰/۰۲۸*
ارومیه	ژوئن	-۱۲/۷	-/۰۶+	-	-/۰۲۲	-	-/۰۲۶	۵	-/۰۳۴*	نامبر	نامبر	نامبر	۰/۰۳۴*
	ژوئن	-	-/۰۱۶	-	-/۰۴۴	-	-/۰۱۸	۶	-/۰۳۰*	ژانویه+۱	ژانویه+۱	ژانویه+۱	۰/۰۳۰*
	ژوئن	-۱۲/۹	-/۰۵*	۹/۶	-/۰۹*	-	-/۰۳۹	۴	-/۰۳۳*	نامبر	نامبر	نامبر	۰/۰۳۳*
	ژوئن	-	-/۰۱۴	-	-/۰۶۵	-۱۴/۳	-/۰۴*	۶	-/۰۳۳*	ژانویه+۱	ژانویه+۱	ژانویه+۱	۰/۰۳۳*
	اکتبر	-۱۶/۷	-/۰۳*	-	-/۰۳۶	-۱۲/۵	-/۰۳*	۱	-/۰۳۰*	نامبر	نامبر	نامبر	۰/۰۳۰*
	سپتامبر	-۱۷/۴	-/۰۱**	-	-/۰۱۱	-۹/۴	-/۰۸*	۲	-/۰۴۰***	نامبر	نامبر	نامبر	۰/۰۴۰***
	اکتبر	-۱۶/۹	-/۰۲*	۱۲/۱	-/۰۰۲*	-	-/۰۳۵	۰	-/۰۳۲*	نامبر	نامبر	نامبر	۰/۰۳۲*
	اکتبر	-۱۷/۶	-/۰۰۷**	۱۵/۵	-/۰۰۶**	-	-/۰۲۴	۱	-/۰۳۸***	نامبر	نامبر	نامبر	۰/۰۳۸***
	نامبر	-۱۹/۷	-/۰۰۵**	-	-/۰۱	-۱۱/۶	-/۰۰۳*	۰	-/۰۳۵*	نامبر	نامبر	نامبر	۰/۰۳۵*
	مارس	-۸/۲	-/۰۱۴*	-	-/۰۱۹	-۵/۵	-/۰۰۲*	۳	-/۰۳۵*	ژوین	ژوین	ژوین	۰/۰۳۵*
اصفهان	مارس	-	-/۰۱۳	-	-/۰۱۸	-	-/۰۵۳	۶	-/۰۲۸*	سپتامبر	سپتامبر	سپتامبر	۰/۰۲۸*
	مارس	-۱۴/۳	-/۰۱۳*	-	-/۰۴۵	-۱۱/۷	-/۰۰۳*	۷	-/۰۳۷***	اکتبر	اکتبر	اکتبر	۰/۰۳۷***
	مارس	-۸/۵	-/۰۰۴***	-	-/۰۷۳	-۹/۲	-/۰۰***	۲	-/۰۴۱***	ژوین	ژوین	ژوین	۰/۰۴۱***
	مارس	-	-/۰۱۱	-	-/۰۹۳	-۸/۱	-/۰۰۶***	۴	-/۰۲۹*	اوت	اوت	اوت	۰/۰۲۹*
	آوریل	-۸/۰	-/۰۰۵*	-	-/۰۳۱	-۱۱/۹	-/۰۱۲*	۶	-/۰۳۸***	اکتبر	اکتبر	اکتبر	۰/۰۳۸***
	اوت	-۸/۲	-/۰۳*	-	-/۰۵۵	-۳/۲	-/۰۰۹+	۰	-/۰۳۵*	نامبر	نامبر	نامبر	۰/۰۳۵*
	اوت	-۱۱/۹	-/۰۱+	-	-/۰۲۶	-	-/۰۳۵	۳	-/۰۳۳*	نامبر	نامبر	نامبر	۰/۰۳۳*
	سپتامبر	-	-/۰۱۶	-	-/۰۷۸	-۸/۴	-/۰۰۲*	۲	-/۰۳۱*	نامبر	نامبر	نامبر	۰/۰۳۱*
	نامبر	-۱۳/۰۰	-/۰۹+	۱۰/۹۰	-/۰۹+	-	-/۰۲۳	۰	-/۰۳*	نامبر	نامبر	نامبر	۰/۰۳*
	مارس	۱۰/۵۹	-/۰۳**	-	-/۰۲۸	-	-/۰۱۵	۱	-/۰۳۶**	ژانویه	ژانویه	ژانویه	۰/۰۳۶**
پیرجند	مارس	۱۹/۹۳	-/۰۰۸*	-۹/۱	-/۰۶*	-	-/۰۱۵	۱۰	-/۰۴۲**	نامبر	نامبر	نامبر	۰/۰۴۲**
	مارس	۱۸/۹۲	-/۰۳*	-۱۳/۱	-/۰۳*	-	-/۰۵۸	۹	-/۰۳۱*	نامبر	نامبر	نامبر	۰/۰۳۱*
	مارس	۲۴/۵۲	-/۰۱*	-۱۶/۴	-/۰۰۲**	-	-/۰۴۹	۱۰	-/۰۳۶**	دسامبر	دسامبر	دسامبر	۰/۰۳۶**
	مارس	۱۲/۱۹	-/۰۳*	-	-/۰۴۱	۸/۷	-/۰۰۶*	۶	-/۰۳۳*	سپتامبر	سپتامبر	سپتامبر	۰/۰۳۳*
	مارس	-	-/۰۱۵	-	-/۰۲۵	۸/۹	-/۰۰۹+	۸	-/۰۲۸*	نامبر	نامبر	نامبر	۰/۰۲۸*
	مارس	۲۲/۹	-/۰۱*	-۱۰/۶	-/۰۸+	۹/۹	-/۰۰۵*	۹	-/۰۳۶**	دسامبر	دسامبر	دسامبر	۰/۰۳۶**
	ماهی	-۱۱/۵	-/۰۲*	-	-/۰۲۲	-۷/۲	-/۰۰۸+	۰	-/۰۳۰*	می	می	می	۰/۰۳۰*
	می	-۹/۱	-/۰۲*	-	-/۰۱۶	-	-/۰۲۴	۱	-/۰۲۶**	ژوین	ژوین	ژوین	۰/۰۲۶**
	می	-۱۳/۴	-/۰۱*	-	-/۰۳	-	-/۰۱۲	۵	-/۰۳۸**	اکتبر	اکتبر	اکتبر	۰/۰۳۸**
	می	۹/۵	-/۰۲*	-۱۱/۹	-/۰۴*	-	-/۰۹۵	۸	-/۰۳۶**	فوریه+۱	فوریه+۱	فوریه+۱	۰/۰۳۶**
اوت	اوت	۱۵/۵	-/۰۲*	-۱۶/۷	-/۰۰۱***	-	-/۰۹۸	۶	-/۰۳۱*	فوریه+۱	فوریه+۱	فوریه+۱	۰/۰۳۱*
	سپتامبر	۱۵/۶	-/۰۰۸***	-۱۵/۶	-/۰۲۰*	-	-/۰۷	۵	-/۰۳۳*	فوریه+۱	فوریه+۱	فوریه+۱	۰/۰۳۳*
	اکتبر	۱۳/۸	-/۰۶+	-۱۳/۵	-/۰۴*	-	-/۰۳۴	۴	-/۰۲۹*	فوریه+۱	فوریه+۱	فوریه+۱	۰/۰۲۹*

E: El Nino Phase

L: La Nina Phase

N: Normal Phase

-**- معنی داری در سطح ۹۵٪ \circ زانویه +1 : ماه زانویه سال بعد از وقوع انسو

ماه مارس، سال ۱+ : بعد از وقوع انسو

***- معنی داری در سطح ۹۹/۹%

۰۰ انسو و قوع از بعد به فو، فو، به سا

ادامه جدول ۲- جزئیات آماری ماههای تأثیرگذار، ضرایب همبستگی، تاخیر زمانی و درصد تغییرات میانگین‌ها در مواردی که مقادیر ET_0 دارای اختلاف معنی‌دار بوده‌اند (مقیاس ماهیانه)

ایستگاه	ماه تأثیرگذار (SOI)	ماه تأثیرپذیر (ET_0)	ضریب همبستگی	تأخر زمانی (ماه)	(E-N)/N%	تغییرات $ET_0\%$	P-Value	(L-N)/N%	تغییرات $ET_0\%$	(E-L)/L%	تغییرات $ET_0\%$	P-Value
ژانویه	اوت	.۰/۳*	.۰/۸۲	۷	.۰/۱۵	-	.۰/۱۴	.۰/۶۷	-	.۰/۲۸	-	-
فوریه	اوت	.۰/۳*	.۰/۳۶	۶	.۰/۳۲	-	.۰/۰۱	.۰/۳۲	-	.۰/۰۱	-	-
مارس	ژوئیه	.۰/۳*	.۰/۱۶	۴	.۰/۰۳*	-	.۰/۰۳***	.۰/۱	-	.۰/۰۴*	-	-۸/۳
مارس	اوت	.۰/۳۸***	.۰/۰۴*	۵	.۰/۰۳*	-۳/۶	.۰/۰۰۱***	.۰/۰۳*	-	.۰/۰۰۵*	-۱۸/۱	-
مارس	ژانویه+۰	.۰/۲۹*	.۰/۰۶+	۱۰	.۰/۰۳۱	-۹/۷	.۰/۰۰۵*	.۰/۰۵*	-	.۰/۰۰۴*	-۱۰/۴	-
آوریل	ژوئن	.۰/۲۸*	.۰/۰۹۶	۲	.۰/۰۱۰*	-	.۰/۰۰۰۶***	.۰/۰۷۴	.۰/۰۰۰۶***	.۰/۰۰۰۶***	.۰/۰۰۰۶***	-۱۲/۷
آوریل	ژوئیه	.۰/۴۵***	.۰/۰۵*	۳	.۰/۰۱۴	-۶/۳	.۰/۰۰۳*	.۰/۰۳۴	-	.۰/۰۰۳*	.۰/۰۰۳*	-۹/۹
آوریل	اوت	.۰/۴۷***	.۰/۰۱*	۴	.۰/۰۱۰*	-۶/۷	.۰/۰۰۳*	.۰/۰۶۴	-	.۰/۰۱۳	-	-
آوریل	ژوئن	.۰/۳۹*	.۰/۰۲۶	۵	.۰/۰۱۴	-۵/۸	.۰/۰۰۳*	.۰/۰۷۰	-	.۰/۰۰۳*	.۰/۰۰۳*	-۶/۳
سپتامبر	اکتبر	.۰/۳۱*	.۰/۰۰۲*	۱	.۰/۰۲۶	-۱۲/۶	.۰/۰۰۱*	.۰/۰۴۷	-	.۰/۰۰۱*	.۰/۰۰۱*	-۱۵/۴
سپتامبر	نوامبر	.۰/۲۹*	.۰/۰۵	۲	.۰/۰۰۷+	-	.۰/۰۰۲*	.۰/۱۴/۹	.۰/۰۰۷+	.۰/۰۰۲*	.۰/۰۰۲*	-۱۷/۸+
مارس	مارس	.۰/۳۴*	.۰/۰۴۳	۲	.۰/۰۷۹	-	.۰/۰۴۰	-	.۰/۰۵۵	.۰/۰۸۶	.۰/۰۴۰	-
ژانویه	اکتبر	.۰/۳۳*	.۰/۰۱	۹	.۰/۰۲۷	-	.۰/۰۵۵	-	.۰/۰۸۶	.۰/۰۷۴	.۰/۰۵۵	-
فوریه	می	.۰/۳۷***	.۰/۰۷۷	۳	.۰/۰۳۳	-	.۰/۰۷۴	-	.۰/۰۷۴	.۰/۰۵۰	.۰/۰۵۰	-
فوریه	ژوئن	.۰/۳۸***	.۰/۰۴۹	۴	.۰/۰۴۹	-	.۰/۰۰۳*	-	.۰/۰۰۳*	.۰/۰۰۳*	.۰/۰۰۳*	-۲۲/۳
دسامبر	مارس	.۰/۳۶***	.۰/۰۴۹	۹	.۰/۰۰۳*	-۱۴/۱	.۰/۰۰۱*	-	.۰/۰۰۵*	.۰/۰۰۵*	.۰/۰۰۵*	-۵/۶
می	ژوئن	.۰/۳۹***	.۰/۰۲	۱	.۰/۰۱۹	-	.۰/۰۰۵*	-	.۰/۰۰۶+	.۰/۰۰۶+	.۰/۰۰۶+	-۵/۹
می	اوت	.۰/۲۹*	.۰/۰۱۷	۳	.۰/۰۰۴*	-	.۰/۰۰۲*	-۱۷/۱	.۰/۰۰۴*	.۰/۰۰۲*	.۰/۰۰۲*	۲۰/۴
فوریه+۰ ^{۰۰}	می	.۰/۳۶***	.۰/۰۰۸*	۹	.۰/۰۰۸*	-	.۰/۰۰۱*	-۱۷/۱	.۰/۰۰۴*	.۰/۰۰۴*	.۰/۰۰۴*	-۲۰/۴
سپتامبر	نوامبر	.۰/۳۹***	.۰/۰۰۸+	۲	.۰/۰۱۷	-۹/۴	.۰/۰۰۳*	-	.۰/۰۰۳*	.۰/۰۰۳*	.۰/۰۰۳*	-۱۶/۳
نوامبر	نوامبر	.۰/۲۹*	.۰/۰۱۱	۰	.۰/۰۶	-	.۰/۰۳*	-	.۰/۰۳*	.۰/۰۳*	.۰/۰۳*	-
مارس+۱ ^{۰۰}	ژوئیه	.۰/۰۳***	.۰/۰۵۷	۸	.۰/۰۰۰۳***	-۱۶/۹	.۰/۰۰۰۱***	-۱۴/۱	.۰/۰۰۰۳***	.۰/۰۰۰۳***	.۰/۰۰۰۳***	۲۵/۵
مارس	اوت	.۰/۳۳*	.۰/۰۴۲	۷	.۰/۰۰۰۳***	-۱۲/۲	.۰/۰۰۰۳*	-۱۴/۹	.۰/۰۰۰۳*	.۰/۰۰۰۳*	.۰/۰۰۰۳*	۱۹/۳
می	ژوئیه	.۰/۳*	.۰/۰۳۹	۲	.۰/۰۵۳	-	.۰/۰۱۲	-	.۰/۰۸+	.۰/۰۹	.۰/۰۱۲	-
می	اوت	.۰/۳۳*	.۰/۰۷۳	۳	.۰/۰۴۸	-	.۰/۰۰۸+	-	.۰/۰۱۹	.۰/۰۱۹	.۰/۰۰۸+	۹/۹
می	سپتامبر	.۰/۰۲۸*	.۰/۰۳۳	۴	.۰/۰۵۶	-	.۰/۰۰۰۳*	-	.۰/۰۰۰۳*	.۰/۰۰۰۳*	.۰/۰۰۰۳*	-
ژوئیه	نومبر	.۰/۲۸*	.۰/۰۴۹	۴	.۰/۰۰۸+	-	.۰/۰۰۷+	-	.۰/۰۰۷+	.۰/۰۰۷+	.۰/۰۰۷+	-۱۶/۶
ژوئیه	دسامبر	.۰/۳۶***	.۰/۰۳۸	۵	.۰/۰۰۵*	-	.۰/۰۰۵*	۲۱/۲	.۰/۰۰۵*	.۰/۰۰۵*	.۰/۰۰۵*	-۲۳/۳
سپتامبر	نومبر	.۰/۳۲*	.۰/۰۲۸	۲	.۰/۰۰۶+	-	.۰/۰۰۲*	۱۵/۳	.۰/۰۰۲*	.۰/۰۰۲*	.۰/۰۰۲*	-۱۹/۸
دسامبر	دسامبر	.۰/۳۰*	.۰/۰۲۱	۳	.۰/۰۵۴	-	.۰/۰۱۳	-	.۰/۰۰۴*	.۰/۰۰۴*	.۰/۰۰۴*	-۱۹/۹
دسامبر	اکتبر	.۰/۳۰*	.۰/۰۲۳	۲	.۰/۰۰۲	-	.۰/۰۰۴*	-	.۰/۰۰۴*	.۰/۰۰۴*	.۰/۰۰۴*	-۱۹/۹
دسامبر	دسامبر	.۰/۳۱*	.۰/۰۴۵	۰	.۰/۰۱۵	-	.۰/۰۱۸	-	.۰/۰۰۲*	.۰/۰۰۲*	.۰/۰۰۲*	-۲۰/۷
مارس	اکتبر	.۰/۳۰*	.۰/۰۰۵*	۷	.۰/۰۵۳	-۹/۷	.۰/۰۰۸+	-	.۰/۰۰۴*	.۰/۰۰۴*	.۰/۰۰۴*	-۱۳/۴
آوریل	می	.۰/۲۳*	.۰/۰۰۲*	۱	.۰/۰۵۹	-۹/۸	.۰/۰۰۴*	-	.۰/۰۰۴*	.۰/۰۰۴*	.۰/۰۰۴*	-۱۰/۲
آوریل	اکتبر	.۰/۳۷***	.۰/۰۰۱***	۶	.۰/۰۸۹	-۱۷/۶	.۰/۰۰۱***	.۰/۰۰۳*	-	.۰/۰۰۳*	.۰/۰۰۳*	-۱۶/۶
آوریل	نومبر	.۰/۲۸*	.۰/۰۰۶+	۰	.۰/۰۵۵	-۲۰/۴	.۰/۰۰۰۱***	.۰/۰۱	-	.۰/۰۰۰۱***	.۰/۰۰۰۱***	-
آوریل	می	.۰/۲۸*	.۰/۰۰۶+	۰	.۰/۰۷	-۸/۲	.۰/۰۰۰۱***	.۰/۰۰۴*	-	.۰/۰۰۰۱***	.۰/۰۰۰۱***	-۹/۵
آوریل	دسامبر	.۰/۳۵*	.۰/۰۳۶	۷	.۰/۰۲۶	-	.۰/۰۰۴*	.۰/۰۰۴*	-	.۰/۰۰۴*	.۰/۰۰۴*	-۱۹/۹
آوریل	اوت	.۰/۳۵*	.۰/۰۳۵	۴	.۰/۰۰۲*	-۱۰/۸	.۰/۰۰۰۱***	.۰/۰۰۲*	-	.۰/۰۰۰۱***	.۰/۰۰۰۱***	-۲۰/۷

-۱۹/۲	۰/۰۳***	-	۰/۵۳	-۱۹/۱	۰/۰۰***	۰	۰/۳۸***	مارس	مارس
-	۰/۱۶	-	۰/۴	۵/۶	۰/۱+	۶	-۰/۳*	سپتامبر	مارس
-	۰/۱۲	-	۰/۶۵	-	۰/۳۱	۳	-۰/۳۳*	ژوئیه	آوریل
۸/۹	۰/۰۶+	-	۰/۶	۷/۶	۰/۰۸+	۴	-۰/۳۵*	اوت	آوریل
۱۱/۰	۰/۰۲***	-۶/۲	۰/۰۷+	-	۰/۳۹	۵	-۰/۴۲***	سپتامبر	آوریل
-	۰/۱۵	-۱۵/۷	۰/۸+	-	۰/۷۸	۸	-۰/۲۸*	دسامبر	آوریل
۱۹/۸	۰/۰۹+	-	۰/۱۴	-	۰/۸۲	۹	-۰/۳۱*	فوریه+	می
-۲۶/۲	۰/۰۳*	-	۰/۲۰	-	۰/۱۸	۲	۰/۳۱*	فوریه+	دسامبر

E: El Nino Phase

L: La Nina Phase

N: Normal Phase

***- معنی داری در سطح ۹۹/۹% ***- معنی داری در سطح ۹۹/۹%

۱۰۰ مارس+ : ماه مارس سال بعد از وقوع انسو

，也，是，的，一，

Y - 1000 - 18 - 200

ادامه جدول ۲- جزیات اماری ماههای تأثیرپذیر، ضرایب همبستگی، تاخیر زمانی و درصد تغییرات میانگین‌ها در مواردی که مقادیر ET_0 دارای اختلاف معنی‌دار بوده اند (مقیاس ماهیانه)

(E-L)/L%		(L-N)/N%		(E-N)/N%		تأخير زمانی (ماه)	ضریب همبستگی	ماه	تأثیرگذار (SOI)	ایستگاه
تغيرات ET ₀ %	P- Value	تغيرات ET ₀ %	P- Value	تغيرات ET ₀ %	P- Value					
-	.0/.16	-0/.0	.0/.08+	-	.0/.69	6	-0/.31*	اوت	فوریه	
-	.0/.30	-	1	-	.0/.16	9	-0/.3*	نومبر	فوریه	
14/0	.0/.07+	-	.0/.030	-	.0/.25	10	-0/.33*	دسامبر	فوریه	
19/8	.0/.06***	-12/7	.0/.05***	-	.0/.27	9	-0/.47***	دسامبر	مارس	
15/4	.0/.04*	-14/5	.0/.05*	-	.0/.59	11	-0/.38***	فوریه+1	مارس	
10/1	.0/.1+	-10/9	.0/.05*	-	.0/.88	8	-0/.34*	دسامبر	آوریل	
-	.0/.16	-	.0/.37	-	.0/.87	1	-0/.35*	ژوئن	ژوئن	
-	.0/.18	-0/.50	.0/.06+	-	.0/.9	3	-0/.31*	سپتامبر	ژوئن	
22/0	.0/.07***	-19/2	.0/.0***	-	1	6	-0/.34*	فوریه+1	اوت	
18/6	.0/.02*	-13/5	.0/.01***	-	.0/.77	7	-0/.34*	مارس+1	اوت	
13/3	.0/.03*	-13/7	.0/.01*	-	.0/.45	4	-0/.31*	ژانویه+1	سپتامبر	
-	.0/.25	17/4	.0/.05*	-	.0/.95	0	-0/.33*	ژانویه	ژانویه	
-11/0	.0/.05*	-	.0/.28	-	.0/.16	2	-0/.29*	می	مارس	
-7/9	.0/.05*	-	.0/.12	-	.0/.38	3	-0/.32*	ژوئن	مارس	
-12/9	.0/.06***	7/4	.0/.08+	-6/9	.0/.03*	1	-0/.38***	می	آوریل	
-8/9	.0/.08***	-	.0/.4	-	.0/.28	2	-0/.38***	ژوئن	آوریل	
-13/6	.0/.02*	-	.0/.6	-9/5	.0/.02*	6	-0/.38***	اکتبر	آوریل	
-9/9	.0/.02*	-	.0/.23	-	.0/.31	0	-0/.30*	می	می	
-8/0	.0/.01***	-	.0/.36	-	.0/.11	1	-0/.39***	ژوئن	می	
-5/9	.0/.08+	-	.0/.6	-	.0/.14	2	-0/.36***	ژوئیه	می	
-6/9	.0/.04*	4/8	.0/.09+	-	.0/.83	3	-0/.39***	اوت	می	
-	.0/.29	-	1	-	.0/.27	4	-0/.30*	سپتامبر	می	
-17/2	.0/.012*	12/1	.0/.02*	-	.0/.17	5	-0/.55***	اکتبر	می	
-	.0/.123	-	.0/.12	-	.0/.21	6	-0/.34*	نومبر	می	
-18/1	.0/.0***	2/9	.0/.08+	-15/8	.0/.03*	4	-0/.54***	اکتبر	ژوئن	
-16/4	.0/.008***	-	.0/.03	-9/8	.0/.06+	5	-0/.35*	نومبر	ژوئن	
-8/2	.0/.01*	-	.0/.19	-5/7	.0/.06+	6	-0/.33*	دسامبر	ژوئن	
-14/7	.0/.03*	-	.0/.19	-	.0/.33	7	-0/.31*	ژانویه+1	ژوئن	

۱۳۹ تأثیر پدیده انسو بر نوسانات تبخیر و تعرق مرجع در چند...

-۱۸/۵	۰/۰۰۲***	-	۰/۱۷	-۱۴/۱	۰/۰۲*	۳	۰/۴۴***	اکتبر	ژوئیه
-۲۰/۴	۰/۰۲*	-	۰/۱۷	-	۰/۱۱	۴	۰/۳۲*	نومبر	ژوئیه
-۸/۰	۰/۰۷+	-	۰/۱۵	-	۰/۸	۲	۰/۴۶***	اکتبر	اوت
-	۰/۱۲	۳/۰	۰/۰۴*	-	۰/۹۷	۳	۰/۳۶***	نومبر	اوت
-۱۸/۷	۰/۰۰۴***	-	۰/۱۷	-۱۴/۱	۰/۰۱۳*	۱	۰/۵۱***	اکتبر	سپتامبر
-	۰/۱۶	-	۰/۲۸	-	۰/۶	۲	۰/۳۹***	نومبر	سپتامبر
-۱۹/۲	۰/۰۱***	۷/۰	۰/۰۸+	-۱۳/۵	۰/۰۱***	۰	۰/۴۹***	اکتبر	اکتبر
-	۰/۵	-	۰/۵	-	۰/۶	۰	۰/۳۱*	نومبر	نومبر
-	۰/۷۵	-	۰/۳۱	-	۰/۳۵	۰	۰/۳۹***	دسامبر	دسامبر

E: El Nino Phase L: La Nina Phase N: Normal Phase

* معنی داری در سطح ۹۵٪ ۰ ژانویه+ : ماه ژانویه سال بعد از وقوع انسو

۰۰۰ مارس+ : ماه مارس سال بعد از وقوع انسو

*** معنی داری در سطح ۹۹٪ ۹۹٪ ۹۹٪ *** معنی داری در سطح ۹۹٪

۰۰۰ فوریه+ : ماه فوریه سال بعد از وقوع انسو

نوسانات جنوبی قرار می‌گیرند.
با توجه به جدول ۴ ضرایب همبستگی در تمام شهرهایی که در مقیاس فصلی دارای همبستگی معنی دار می‌باشند به جز شهرهای بیرونی و تهران مثبت می‌باشند. ارتباط معکوس ET_0 این دو شهر در مقیاس فصلی با پدیده انسو می‌تواند به دلیل تاثیرات عوامل محلی نظیر تاثیر قوی میکرو اقلیم‌های خاص در محل، عوامل جغرافیایی خاص، بادهای کوهستانی و فعالیت‌های صنعتی باشد که تاثیر پدیده انسو را ضعیف و یا حتی معکوس نموده‌اند.

با توجه به نتایج جدول ۳، در مواردی که ضرایب همبستگی مثبت است، به طور متوسط ET_0 فاز الینیو ۱۰/۸ درصد کمتر از فاز نرمال و ۱۴/۸ درصد کمتر از فاز لانینا می‌باشد. مقدار ET_0 فاز لانینا نیز به طور متوسط ۱۳/۱ درصد بیشتر از فاز نرمال می‌باشد. بیشترین تأخیر زمانی نوسانات جنوبی برای اوج تأثیرگذاری بر تبخیر و تعرق مرجع در ضرایب همبستگی مثبت، مربوط به شهر شاهroud با متوسط ۴/۶ ماه، و کمترین تأخیر زمانی مربوط به شهر همدان با متوسط ۱ ماه می‌باشد. SOI- ET_0 به طور متوسط، شهرهای مورد مطالعه دارای همبستگی مثبت در سطح ۹۵٪ و با متوسط تأخیر زمانی ۳/۲ ماه تحت تأثیر

جدول ۳- میانگین ایستگاهی، نوع همبستگی، متوسط تأخیر زمانی و متوسط درصد تغییرات میانگین‌ها در مواردی که مقادیر ET_0 آنها دارای اختلاف معنی‌دارند (مقیاس ماهیانه)

نام ایستگاه	نوع همبستگی	ضریب همبستگی	متوسط تاخیر زمانی(ماه)	(E-N)/N (%)	(L-N)/N (%)	(E-L)/L (%)
اراک	مثبت	۰/۳۶***	۴/۵	-۹/۸	۲۰/۹	-۲۰/۷
ارومیه	مثبت	۰/۳۳*	۳/۱	-۱۱/۹	۱۰/۲	-۱۳/۴
اصفهان	مثبت	۰/۳۴*	۳/۳	-۸/۳	۱۰/۹	-۱۰/۴
بیرونی	مثبت	۰/۳۳*	۳	-۷/۲	-۷/۲	-۱۱/۳
تهران	منفی	-۰/۳۴*	۷/۴	۹/۱	-۱۲/۶	۱۶/۴
شاهroud	مثبت	۰/۳۳*	۴/۲۵	-۷/۴	۷/۷	-۱۲/۴
شهرکرد	منفی	-۰/۳۴*	۱/۵	-۹/۴	-	-۹/۲
قزوین	مثبت	-۰/۳۷***	۸/۲	-	۱۵/۱	۲۱/۹
زنجان	منفی	-۰/۳۴*	۴/۶	-۱۳/۱	۲۰/۸	-۱۵/۰
همدان	مثبت	-۰/۳۴*	۶/۷	-	-۱۱/۹	۱۶/۱
تریت حیدریه	مثبت	۰/۳۸***	۲/۷	-۱۱/۲	۷/۸	-۱۳/۱
میانگین کلی	مثبت	۰/۳۱*	۲/۷	-	۱۷/۲	-۱۹/۹
میانگین کلی	منفی	-۰/۳۰*	۳	-	-	۹/۹
میانگین کلی	منفی	۰/۳۵*	۱	-۱۹/۱	-	-۲۲/۷
میانگین کلی	منفی	-۰/۳۳*	۵/۸	۶/۵۷	-۱۰/۹	۱۰/۲
میانگین کلی	مثبت	۰/۳۵	۳/۶	-	-	-
میانگین کلی	مثبت	-۰/۳۴*	۳/۲	-۱۰/۸	۱۳/۱۲	-۱۴/۸
میانگین کلی	منفی	-۰/۳۴*	۶/۵	۷/۹	-۱۱/۷۸	۱۴/۹

جدول ۴- نتایج آماری فصول تأثیر گذار و تأثیرپذیر، ضریب همبستگی، تاخیرزمانی و درصد تغییرات میانگین‌ها در مواردی که مقادیر ET₀ آنها دارای اختلاف معنی‌دارند (مقیاس فصلی)

(E-L)L(%)		(L-N)/N (%)		(E-N)/N (%)		تأخير زماني (فصل)	ضرائب همبستگي	فصل تأثير پذير (ETO)	فصل تأثير گزار (SOI)	ایستگاه
درصد تغییرات	P-Value	درصد تغییرات	P-Value	درصد تغییرات	P-Value					
-	.0/.2	-	.0/.65	-.4/.8	.0/.08+	1	.0/.33*	پايز	تابستان	اراك
-	.0/.76	-	.0/.81	-	.0/.19	0	.0/.34*	پايز	پايز	
-.5/.3	.0/.04*	-	.0/.25	-.9/.3	.0/.004***	2	.0/.11*	پايز	بهار	اصفهان
-.10/.8	.0/.008***	.9/.4	.0/.01*	-	.0/.13	0	.0/.33*	پايز	پايز	
-.11/.2	.0/.06+	-	.0/.13	-	.0/.46	1	.0/.31*	پايز	تابستان	اروميه
-	.0/.11	.8/.7	.0/.05+	-	.0/.9	0	.0/.39***	پايز	پايز	
.14/.5	.0/.02*	-	.0/.32	.8/.1	.0/.05*	3	-.0/.40***	پايز	زمستان	بيرجند
-.6/.8	.0/.02*	-	.0/.26	-	.0/.25	0	.0/.35*	بهار	بهار	تربت حیدریه
-.7/.1	.0/.06+	.5/.8	.0/.03*	-	.0/.80	2	.0/.30*	تابستان	زمستان	
-.7/.6	.0/.01**	-	.0/.49	-.5/.1	.0/.07+	1	.0/.34*	تابستان	بهار	تبriz
-.10/.1	.0/.7+	.11/.9	.0/.02*	-	.0/.78	0	.0/.31*	پايز	پايز	
.11/.8	.0/.09+	-	.0/.10	-	.0/.78	2	-.0/.33*	زمستان	تابستان	تهران
-	.0/.47	-	.0/.71	-	.0/.49	0	.0/.29*	پايز	پايز	زنجان
-	.0/.18	-	.0/.39	-.17/.6	.0/.002***	2	.0/.34*	پايز	بهار	شهرود
-.8/.3	.0/.03*	-	.0/.15	-.5/.0	.0/.09+	0	.0/.43***	بهار	بهار	
-	.0/.12	-	.0/.43	-	.0/.11	1	.0/.34*	تابستان	بهار	
-.16/.3	.0/.003***	-	.0/.30	-.14/.1	.0/.005***	2	.0/.57***	پايز	بهار	قرويين
-.17/.4	.0/.001***	.5/.1	.0/.08+	-.13/.2	.0/.005***	1	.0/.53***	پايز	تابستان	
-.13/.7	.0/.02*	.8/.8	.0/.05*	-	.0/.34	0	.0/.48***	پايز	پايز	
-.10/.4	-	.8/.3	-	-.9/.9	-	.0/.8	.0/.37***	ميانگين تأثير پذيری ضرائب همبستگي مثبت		
.13/.7	-	-	-	.8/.1	-	2/.5	-.0/.36***	ميانگين تأثير پذيری ضرائب همبستگي منفی		

*-معنی داری در سطح ۹۵٪ **-معنی داری در سطح ۹۹٪ ***-معنی داری در سطح ۹۹٪

جدول ۵- ضرایب همبستگی سالانه تغییر و تعریق مرجع و نوسانات جنوبی و میزان درصد تغییرات₀ ET در فازهای مختلف (مقایس سالانه)

(E-L)L (%)		(L-N)/N (%)		(E-N)/N (%)		نام ایستگاه	ضریب همبستگی
درصد تغییرات	P-Value	درصد تغییرات	P-Value	درصد تغییرات	P-Value		
-۹/۰	.۰/۰۱*	۴/۹	.۰/۰۹+	-۴/۶	.۰/۰۷+	.۰/۳۴*	ارومیه
-۵/۵	.۰/۰۷+	-	.۰/۰۳	-	.۰/۱۴	.۰/۳۲*	اصفهان
-۸/۲	.۰/۰۲*	-	.۰/۱۵	-	.۰/۱۳	.۰/۳۲*	تبریز
-۷/۶	.۰/۰۰۱***	۷/۴	.۰/۰۰۴**	-	.۰/۰۸۵	.۰/۳۸***	تریت حیدریه
-۸/۵	.۰/۰۲*	-	.۰/۰۵۴	-۶/۳	.۰/۰۲*	.۰/۳۷***	قزوین
-۷/۸	-	۶/۲	-	-۵/۴	-	.۰/۳۵*	میانگین کلی

*- معنی داری در سطح .۹۹% ***- معنی داری در سطح .۹۹% ***- معنی داری در سطح .۹۹%

که بعد از فصل بهار (شامل ۳۶ درصد از فضول تأثیرگذار) رتبه دوم را در میان فضول تأثیرگذار (۳۲درصد) دارد (جدول ۴). در بین شهرهایی که در مقیاس فصلی از تغییرات نوسانات جنوبی تأثیر می پذیرند، استثنای دو شهر تربت حیدریه و تهران در فصل پاییز تحت تأثیر نوسانات

تأثیرپذیری تبخیر و تعرق مرجع در فصل پاییز (۶۸ درصد) و تابستان (۱۶ درصد) بیشترین تأثیرپذیری کل فضول را شامل می‌شوند، که با نتایج مقیاس ماهیانه هم خوانی دارد. در مقیاس فصلی (جدول ۴)، فصل پاییز یکی از موثرترین فضول تأثیرگذار می‌باشد، به نحوی

در مقایسه با اقلیم های گرم می باشد. به طوری که در ایستگاه های واقع در اقلیم سرد مقدار ET_0 را در فاز النینو تا $14/8$ درصد کمتر از مقدار تبخیر و تعرق در فاز لانینا نشان داد. این نتیجه موید حساسیت بیشتر شهرهای واقع در اقلیم سرد با سیگنال های انسو می باشد. البته تعداد موارد همبستگی های مثبت $(SOI-ET_0)$ مشاهده شده در اقلیم سرد ۱۶ درصد کمتر از تعداد همبستگی های مثبت اقلیم گرم بود (۲۴).

در مقیاس سالانه، شهرهای ارومیه، اصفهان، تبریز، تربت حیدریه و قزوین در سطح معنی داری 95% دارای متوسط ضریب همبستگی $0/35$ می باشند. نتایج تحلیل سالانه (جدول ۵) نشان می دهد که ET_0 در فاز النینو نسبت به فاز نرمال و لانینا به ترتیب $4/5$ و $7/8$ درصد کاهش می یابد. با توجه به جدول ۲، شهرهای مذکور جزء شهرهایی می باشند که در تمام موارد دارای همبستگی مثبت با شاخص نوسانات جنوبی بودند. برخلاف نتایج مقیاس های ماهیانه و فصلی که بیشترین ضریب همبستگی متعلق به شهر قزوین بود، در مقیاس سالانه بیشترین ضرایب همبستگی به شهر تربت حیدریه تعلق دارد. لازم به ذکر است که در مقیاس های بزرگتر مانند مقیاس فصلی و مقیاس سالانه تعداد همبستگی ها کاهش می یابد ولی با توجه به اهمیت تعیین مقادیر آبیاری در مقیاس های کوچکتر، نتایج تحلیل ماهیانه کاربردی تر می باشد.

برخی از شهرها با وجود داشتن ضرایب همبستگی قوی در مقیاس ماهیانه، در مقیاس های فصلی و سالانه قادر ضرایب همبستگی معنی دار بودند (مانند شهرهای همدان و شهرکرد در مقیاس فصلی و شهرهای اراک، بیرجند، تهران، شاهروд، زنجان و همدان در مقیاس سالیانه) که می تواند به دلایل زیر مرتبط باشد:

-۱- تبخیر و تعرق مرجع در برخی ماههای فصل دارای ضرایب همبستگی مثبت و در برخی ماههای دیگر ضرایب همبستگی منفی با تغییرات نوسانات جنوبی داشته اند که ممکن است در میانگین گیری های فصلی و سالیانه تأثیر یکدیگر را خنثی نمایند.

-۲- گاهی شروع پدیده انسو با شروع سال میلادی همزمان نیست، به طوری که در طی سال نیمی از شاخص های نوسان جنوبی مثبت و نیم دیگر منفی می باشند که در این صورت تأثیرات آنها در مقیاس میانگین های فصلی یا سالانه ظاهر نمی شود.

-۳- سازو کارهای اقلیمی ایران در شهرهای مختلف از عوامل گوناگونی تأثیر می پذیرند (مانند پدیده های خرد اقلیمی) که گاهی این عوامل مستقل از پدیده انسو و جریانات بزرگ مقیاس گردش عمومی جو عمل می نمایند. لذا تبخیر و تعرق مرجع نیز که وابسته به شرایط آب و هوایی می باشد، در برخی موارد ممکن است دارای تغییراتی مستقل از پدیده انسو باشند.

جنوبی قرار نمی گیرند. شهرهای ارومیه، اصفهان، بیرجند، زنجان و شاهروд تنها در فصل پاییز، و شهرهای تبریز و قزوین علاوه بر فصل پاییز در سایر فصول نیز تحت تأثیر پدیده انسو قرار می گیرند. متوسط تأثیر زمانی تأثیرپذیری فصل پاییز به دلیل تأثیر همزمان در شش شهر از شهرهای مورد مطالعه، کمتر از یک فصل می باشد.

همانطور که قبلاً گفته شد، بیشترین ضریب همبستگی مثبت در مقیاس فصلی مربوط به تأثیرات پدیده انسو در فصل بهار بر ET_0 پاییز (با تأخیر شش ماهه) در شهر قزوین به مقدار $57/0$ می باشد و بیشترین ضریب همبستگی منفی نیز مربوط به تأثیرات نوسانات شاخص SOI در فصل زمستان بر تبخیر و تعرق فصل پاییز با تأخیر سه فصل در شهر بیرجند به مقدار $40/0$ می باشد که هردو در سطح 99% معنی دارند. در مقیاس فصلی نیز حدود 73 درصد از موارد اختلاف میانگین ET_0 بین فازهای النینو و لانینا معنی دار می باشند که حاکی از اثرگذاری قوی نوسانات جنوبی بر تغییرات فصلی ET_0 این شهرها می باشد. به طور کلی در مقیاس فصلی در همبستگی های شهرها می باشد. مقدار تبخیر و تعرق مرجع با تأخیر زمانی حدود یک فصل، در فاز النینو نسبت به فار نرمال $9/6$ درصد کاهش می یابد. همچنین تبخیر و تعرق مرجع در فاز لانینا نیز $8/3$ درصد نسبت به فار نرمال افزایش می یابد (جدول ۴).

نتایج به دست آمده در شهرهای مختلف با مطالعات مشابه در مورد تأثیر پدیده انسو بر سایر پارامترها هم خوانی دارد. برای مثال طبق نتایج مدرس پور (۹) با وقوع پدیده انسو، در شهرهای ارومیه، تبریز و اصفهان در فصل پاییز در فاز النینو شاهد کاهش دما (زیر میانگین 30 ساله) و افزایش بارش می باشیم. کاهش دما و افزایش روزهای بارانی و به دنبال آن کاهش کمبود فشار بخار اشباع در صورت ثابت بودن سایر پارامترهای موثر بر تبخیر و تعرق می تواند باعث کاهش ET_0 شود. همچنین کاهش ET_0 در فاز النینو فصل تابستان در شهر تبریز با کاهش دما در این فصل (طبق نتایج مدرس پور)، و افزایش ET_0 در فاز لانینا در فصل پاییز، با کاهش بارش در فصل پاییز و تأثیر آن بر کمبود فشار بخار اشباع (طبق نتایج خورشید دوست و قویدل رحیمی (۲) مطابقت دارد. مطابق با نتایج پژوهش عزیزی (۴)، شهر شاهروド در اثر وقوع هر هشت پدیده النینو مورد بررسی، از شرایط تراسالی برخوردار بوده است که به نوبه خود به کاهش کمبود فشار بخار اشباع و کاهش ET_0 منجر شده است (جدوال ۳ و ۴).

سبزی پرور و همکاران (۲۴) تأثیر پدیده انسو را بر میزان تغییر پذیری ET_0 در چند نمونه اقلیم گرم کشور با استفاده از نمایه SOI مورد ارزیابی قرار دادند. نتایج آن ها نشان داد که در زمان وقوع النینو، مقدار ET_0 نسبت به فاز لانینا در سطح معنی داری $10/1$ تا $95/0$ درصد کاهش نشان می دهد. مقایسه نتایج تحقیق حاضر با پژوهش نامبردگان حاکی از حساسیت بیشتر اقلیم های سرد به نوسانات انسو

نتیجه‌گیری

به نوع اقلیم شهرهای مورد مطالعه و نیاز آبی گیاهان در طول دوره رشد حائز اهمیت می‌باشد. به طور کلی در ضرایب همبستگی مثبت $SOI-ET_0$ و در مقیاس فصلی ET_0 با تأخیر زمانی حدود یک فصل، در فاز النینو نسبت به فار نرمال $9/9$ درصد کاهش نشان داد و در فاز لانینا نیز $8/3$ درصد نسبت به فاز نرمال افزایش داشت. نتایج این تحقیق نشان داد که ET_0 در مقیاس سالانه نیز در شهرهای اصفهان، ارومیه، تربت حیدریه، قزوین و تبریز با تغییرات شاخص SOI رابطه دارد. با وجود اینکه آغاز پدیده انسو معمولاً از اوایل شروع سال میلادی می‌باشد، اما در هیچ کدام از شهرهای مورد مطالعه همبستگی معنی دار همزمان در فصل زمستان (زانویه، فوریه، مارس) مشاهده نشد، که با توجه به فاصله مکانی بین ایران و مکان اصلی وقوع انسو، این فرضیه تقویت می‌شود که تأثیر انسو بر فرآیند ET_0 در شهرهای مختلف با تأخیر زمانی متفاوتی ظاهر می‌شود. بررسی نتایج نشان داد که بین تاخیرهای زمانی حادث شده با بعد فاصله، طول جغرافیایی و عرض جغرافیایی ایستگاههای مورد مطالعه رابطه فیزیکی معنی داری وجود ندارد. بطور مثال متوسط تاخیر زمانی حادث شده در اصفهان $3/3$ ماه بود در حالیکه در شهرکرد با فاصله زمانی نه چندان دور، تاخیر زمانی بدست آمده $6/7$ ماه به دست آمد. بررسی علت این امر نیاز به مطالعات جامعتری دارد. تأثیرپذیری تبخیر و تعرق از پدیده انسو در فصل بهار در دو شهر تربت حیدریه و قزوین، و در فصل تابستان در شهرهای تبریز و قزوین از نظر مدیریت منابع آب از اهمیت فراوان برخوردار است.

به طور کلی با وجود ضرایب همبستگی مثبت و کاهش تبخیر و تعرق در فاز النینو، و با توجه به نتایج تحقیقات مختلف بر نوسانات بارش که حاکی از افزایش بارش در فازهای النینو می‌باشد می‌توان با توجه به منابع آبی و با مدیریت صحیح و تخمین دقیق نیاز آبی، سطح زیر کشت محصولات را در ماههای وقوع النینو افزایش داد. بر عکس، در صورت بروز فاز لانینا (کاهش بارش و افزایش تبخیر و تعرق در ایران)، با کاهش سطح زیر کشت، انتخاب الگوی کشت مناسب و استفاده بهینه از آب موجود خسارت کمتری را در بخش کشاورزی و منابع آب شاهد باشیم.

در این تحقیق بعد از محاسبه ضرایب همبستگی بین تبخیر و تعرق مرجع و شاخص SOI ، در مواردی که ضرایب همبستگی معنی دار بودند، داده‌های شاخص SOI به ترتیب صعودی و فازهای مختلف انسو بر اساس 25 درصد بالای 25 درصد پایینی شاخص SOI به ترتیب به عنوان فازهای النینو و لانینا و مقادیر بین این دو محدوده به عنوان فاز نرمال در نظر گرفته شد. نتایج نشان داد مقدار ET_0 در 92 درصد از شهرهای مورد بررسی با شاخص نوسانات جنوبی در سطح 95% دارای همبستگی معنی دار بودند. تأثیرپذیری انسو در موارد همبستگی مثبت، با متوسط تأخیر زمانی $3/2$ ماه بدست آمد که می‌تواند در پیش‌بینی تغییرات نیاز آبی مفید باشد. طبق نتایج به دست آمده، ماههای فصل بهار و فصل تابستان با ET_0 حداقل تعداد ماههای تأثیرگذار باعث ایجاد بیشترین تغییرات در ماههای فضول تابستان و پاییز شدند. در بین ضرایب ماهیانه، 72 درصد موارد دارای ضریب همبستگی مثبت ($t=+0/34$) و 28 درصد موارد دارای ضریب همبستگی منفی ($t=-0/34$) بودند. در ضرایب همبستگی مثبت، مقدار ET_0 به طور متوسط در فاز النینو $10/8$ درصد کمتر از فاز نرمال و $14/8$ درصد کمتر از فاز لانینا بود. مقدار ET_0 در فاز لانینا نیز به طور متوسط $13/1$ درصد بیشتر از ET_0 در فاز نرمال بدست آمد. تعداد ماههایی که در ضرایب همبستگی مثبت دارای اختلاف میانگین معنی دار بین دو فاز النینو و نرمال بودند، به طور قابل ملاحظه‌ای بیشتر از تعداد اختلاف میانگین معنی دار دو فاز لانینا و نرمال بود. همچنین در مواردی که ضرایب همبستگی $SOI-ET_0$ منفی بود، تعداد ماههایی که مقدار ET_0 توسط فاز لانینا تحت تأثیر معنی دار قرار گرفته بودند بیشتر از تأثیرات فاز النینو بود. لذا در حالت کلی در زمان وقوع پدیده انسو، کاهش معنی دار ET_0 بیشتر از افزایش معنی دار آن اتفاق نمی‌افتد. بیشترین تأثیر پذیری ET_0 از پدیده انسو به ترتیب مربوط به ماههای نوامبر، اکتبر و دسامبر (ماههای فصل پاییز) بود. در مقیاس فصلی، در 80 درصد مناطق مورد مطالعه مقدار ET_0 فصل پاییز تحت تأثیر تغییرات شاخص نوسانات جنوبی قرار گرفت. این نتیجه با توجه

منابع

- ۱- تریولا م، تهرانیان م. و بزرگ نیا. ۱۳۸۰. آمار کاربردی (همراه با برنامه‌های کامپیوتری). چاپ سوم، انتشارات جهاد دانشگاهی مشهد.
- ۲- خورشید دوست ع.م. و قویدل رحیمی. ۱۳۸۵. ارزیابی اثر پدیده انسو بر تغییرپذیری بارش‌های فصلی استان آذربایجان شرقی با استفاده از شاخص چند متغیره انسو. مجله پژوهش‌های جغرافیایی، ۵۷، ۱۵-۲۶.
- ۳- خوش‌الخلق ف. ۱۳۷۷. پدیده انسو و تأثیر آن بر رژیم بارش ایران. فصل‌نامه تحقیقات جغرافیایی، ۴۴۷، ۱۲۱-۱۳۹.
- ۴- عزیزی ق. ۱۳۷۹. آل نینو و دوره‌های خشکسالی- تراسالی در ایران. مجله پژوهش‌های جغرافیایی، ۳۸، ۷۱-۸۴.
- ۵- غفاری ع، دیائو ا. و قاسمی دهکردی و.ر. ۱۳۸۴. پنهانه بندی اقلیم کشاورزی ایران با روش یونسکو، موسسه تحقیقات کشاورزی دیم کشور.

- مرکز تحقیقات بین‌المللی کشاورزی در مناطق خشک (ایکاردا) و موسسه تحقیقات خاک و آب.
- ۶- غیور ح. و خسروی م. ۱۳۸۱. تأثیر پدیده انسو بر نابهنجاری‌های بارش تابستانی و پاییزی منطقه جنوب شرق ایران. فصلنامه تحقیقات جغرافیایی، ۵۲۳، ۱۴۱-۱۷۴.
- ۷- غیور ح. و عساکره ح. ۱۳۸۰. مطالعه اثر پیوند از دور بر اقلیم ایران مطالعه موردی: اثر نوسانات اطلس شمالی و نوسانات جنوبی بر تعییرات میانگین ماهیانه دمای جاسک، فصلنامه تحقیقات جغرافیایی. ۵۲۹، ۱۱۳-۹۳.
- ۸- کریمی خواجه‌لنگی ص. ۱۳۸۵. ارتباط انسو با نوسانات الگوی بارش ماهیانه در ایران (مطالعه موردی شهرکرد). مجله نیوار، ۴۳-۵۲.
- ۹- مدرس پور آ. ۱۳۷۶. تأثیر رویداد انسو (النینو/ نوسان جنوبی) بر بارندگی و دمای ایران. مجله نیوار، ۳۳، ۸۲-۶۷.
- ۱۰- ناظم‌السدات م.ج.، انصاری بصیر ا. و پیشوایی م.ر. ۱۳۸۶. ارزیابی سطح معنی‌داری برای پیش‌بینی دوران خشکسالی و ترسالی فصل پاییز و شش ماهه سرد ایران بر اساس وضعیت فازهای تابستانه ENSO. مجله تحقیقات منابع آب ایران، ۱، ۲۴-۱۲.
- ۱۱- ناظم‌السدات م.ج. سامانی ن. و مولایی نیکخواه. ۱۳۸۴. تعییر اقلیم در جنوب و جنوب غرب ایران از دیدگاه مشاهدات بارش، برهمکنش با پدیده النینو نوسانات جنوبی. مجله علمی کشاورزی، ۲۸، ۹۶-۸۱.
- 12- Allen R.G., Pereira L.S., Raes D., and Smith M. 1998. Crop evapotranspiration: Guidelines for computing crop water requirements. FAO Irrigation and Drainage Paper 56. pp 301.
- 13- Chang J. 1968. Climate and Agriculture. An Ecological Survey. Ed. Andine. Pp 296.
- 14- Fowler A.M., Boswijk G., Gergis G., and Lorrey A. 2008. ENSO history record in Agathis Australis (Kauri) tree ring. Part A: Kauri's potential as an ENSO proxy, Royal Meteorological Society, 28: 1-20.
- 15- Guetter A.K., and Georgakakos K.P. 1996. Are the El Niño and La Niña Predictors of the Iowa River Seasonal Flow? Journal of Applied Meteorology, 35: 690- 705.
- 16- [Http://www.bom.gov.au](http://www.bom.gov.au) (Visited: 12/10/2009)
- 17- Meza F.J. 2004. ENSO effects on reference evapotranspiration (ET_0) at the Maipo river basin, Chile. Bulletin of the American Meteorological Society, 3567-3572.
- 18- Nazemosadat M.J. 1999. The impact of ENSO on autumnal rainfall in Iran Drough, New's Network, 11:15-19.
- 19- Nazemosadat M.J., and Cordery I. 2000. On the relationships between ENSO and autumnal rainfall in Iran. Int. J. Climatol, 1:47- 46.
- 20- Oram P.A. 1989. Sensitivity of gricultural prediction to climatic change, an update. Climate and Food Security, IRRI. Manila, Philippines. 25-44.
- 21- Poveda G., Jaramillo A., Gil M.M., Quiceno N., and Mantilla'a R. 2001. Seasonality in ENSO-related precipitation, river discharges, soil moisture, and vegetation index in Colombia. Water Resources Research, 37:2169 –2178.
- 22- Rollenbeck R., and Anhuf D. 2007. Characteristics of water and energy balance in an Amazonian lowland rainforest in Venezuela and the impact of the ENSO cycle. Journal of Hydrology, 337:337-390.
- 23- Rosegrant M.W., Ringler C., McKinney D.C., CAI X., and Donoso G. 2000. Integrated economic-hydrologic water modeling at the basin scale: the Maipo river basin. Agricultural Economics, 24: 33-46.
- 24- Sabziparvar A.A., Mirmasoudi S.H., Tabari H., Nazemosadat M.J., Maryanaji Z. 2011. ENSO teleconnection impacts on reference evapotranspiration variability in some warm climates of Iran. International Journal of Climatology, 31:1710-1723.
- 25- Trenberth K.E. 1997. The Definition of El Niño, Bulletin of the American Meteorological Society, 78 (12): 2771-2777.



The Impact of ENSO Event on Reference Crop Evapotranspiration Variability in Some Typical Cold Climates of Iran

A.A. Sabziparvar^{1*} - S. Tanian²

Received: 01-08-2012

Accepted: 16-12-2012

Abstract

The main aim of this research is investigating the effect of ENSO phenomenon on reference evapotranspiration (ET_0) on monthly, seasonal and annual time scales, using Southern Oscillation Index (SOI). For this purpose, 13 sites located in cold climate regions with 50 years (1957-2006) meteorological data were selected. In the first step, the reference evapotranspiration rates were determined for the selected sites by using FAO recommended approach. In the second step, different phases (El Nino, La Nina and normal) were separated in terms of SOI and the mean deviation of ET_0 values at each phase were compared by Mann-Whitney test. At statistical significant levels ($p < 0.1$), good correlation were found between the ET_0 values and SOI. About 72% of correlations were positive and the rest (28%) were negative. In positive SOI- ET_0 correlations, the monthly averages of ET_0 values during El Nino phases were 14.8% and 10.8% lower than ET_0 of La Nina and Normal phases, respectively. On the contrary, the average ET_0 rates in La Nina phases were 13.1% higher than the corresponding values of normal phases. The mean time lag to observe the highest impact of ENSO on ET_0 was 3.2 months. The highest effective months in the study sites was found to be November, October and December, respectively. In seasonal time scale, 68% of the statistical significant affecting cases were occurred in autumn. It was found that the cold climates were more sensitive to the ENSO signals than warm climates. The results can be useful for policy makers in water resources management and agricultural sectors.

Keywords: Reference evapotranspiration, ENSO, SOI, Teleconnection

1,2- Professor and Former M.Sc Student of Irrigation and Drainage Department, Faculty of Agriculture, Bu-Ali Sina University Hamedan

(*- Corresponding Author Email: swsabzi@basu.ac.ir)